



ผลของสารเรซินเหลวที่มีต่อความแข็งแรงพันธะ เนื่องในช่วงแรกของสารยึดติดทางทันตกรรมจัดฟัน

พรพรรณพิพิธ์ คงไพบูลย์ ท.บ.¹

ไพบูลย์ เศษะเลิศไพศาล ท.บ., Ph.D., อ.ท. (ทันตกรรมจัดฟัน)²

¹นิสิตบัณฑิตศึกษา ภาควิชาทันตกรรมจัดฟัน คณะทันตแพทยศาสตร์ จุฬาลงกรณ์มหาวิทยาลัย

²ภาควิชาทันตกรรมจัดฟัน คณะทันตแพทยศาสตร์ จุฬาลงกรณ์มหาวิทยาลัย

บทคัดย่อ

วัสดุประสรุค์ เพื่อศึกษาผลของสารเรซินเหลวที่มีต่อความแข็งแรงของพันธะเนื่องในช่วงแรกของสารยึดติดทางทันตกรรมจัดฟันสามชนิดระหว่างแบร์กเกตและผ้าเคลือบฟัน

วัสดุและวิธีการ เตรียมฟันจำนวน 60 ชิ้นเป็น 3 กลุ่ม ๆ ละ 20 ชิ้น เตรียมผ้าพันด้วยกรดฟอสฟอริก ล้างน้ำและเป่าแห้งนำแบร์กเกตติดลงบนผ้าพันด้วยสารยึดติดชนิดบ่มด้วยแสงโดยกลุ่ม 1 (T) วัสดุ Transbond XTTM (3M Unitek, CA, USA) กลุ่ม 2 (G) วัสดุ GrenglooTM (Ormco, Glendora, CA, USA) กลุ่ม 3 วัสดุ (P) PadlockTM (Reliance Orthodontic Product, Inc., Itasca, IL, USA) ในแต่ละกลุ่มถูกแบ่งเป็นกลุ่มทดลองและกลุ่มควบคุมกลุ่มละ 10 ชิ้น กลุ่มทดลองไม่มีการทำสารเรซินเหลว (T₁, G₁, P₁) กลุ่มควบคุมทำสารเรซินเหลว (T₂, G₂, P₂) ตามคำแนะนำของผู้ผลิตนำตัวอย่างกลุ่มละ 9 ชิ้นไปวัดค่าความแข็งแรงของพันธะเนื่องหลังการฉายแสง 5 นาทีด้วยเครื่องทดสอบสากล ตัววัด 1 ชิ้น นำไปศึกษาลักษณะการแทรกซึมของเรซินในเคลือบฟันด้วยกล้องจุลทรรศน์อิเล็กตรอนแบบส่องกล้องเดียวกับการเดบิรีบเทียบค่าเฉลี่ยความแข็งแรงของพันธะเนื่องในแต่ละกลุ่มด้วยค่าความแปรปรวนแบบทางเดียว วัดค่าการเหลืออยู่ของสารยึดติดบนตัวพันด้วยคัดชนิดการเหลืออยู่ของสารยึดติด ทดสอบด้วยค่าทางสถิติโคสแคร์ที่ระดับความเชื่อมั่นร้อยละ 95

ผลการศึกษา ค่าเฉลี่ยและความแปรปรวนของความแข็งแรงพันธะเนื่องของกลุ่ม T₁ G₁ และ P₁ เท่ากับ 10.18 ± 2.33 10.72 ± 3.21 และ 11.61 ± 3.67 เมกะปาสคัล ตามลำดับกลุ่ม T₂ G₂ P₂ เท่ากับ 12.12 ± 3.29 11.94 ± 3.20 และ 10.44 ± 3.47 เมกะปาสคัล ตามลำดับ พ布ว่าไม่มีความแตกต่างอย่างมีนัยสำคัญทางสถิติระหว่างกลุ่มทดลองและกลุ่มควบคุมในสารยึดติดชนิดเดียวกัน ไม่มีความแตกต่างกันอย่างมีนัยสำคัญทางสถิติระหว่างสารยึดติดสามชนิดทั้งในกลุ่มทดลองและควบคุมด้วยการเหลืออยู่ของสารยึดติดในแต่ละกลุ่มไม่แตกต่างกัน ลักษณะการแทรกซึมของเรซินในผ้าพันพบร่วงกลุ่มที่ไม่มีการทำสารเรซินเหลวมีปริมาณการแทรกซึมของเรซินในเคลือบฟันน้อยและตื้นกว่ากลุ่มที่มีการทำสารเรซินเหลวในขั้นตอนการยึดติดแบร์กเกต

สรุป การทำสารเรซินเหลวในขั้นตอนการยึดติดแบร์กเกตไม่มีผลต่อความแข็งแรงพันธะเนื่องในช่วงแรกของสารยึดติดทั้งสามชนิดที่ใช้ในการทดลองครั้งนี้

(วันที่ ๖ พฤษภาคม ๒๕๕๘; ๓๘:๑๑-๒๐)

คำสำคัญ: ความแข็งแรงของพันธะในช่วงแรก; สารยึดติดทางทันตกรรมจัดฟัน; สารเรซินเหลว

บทนำ

การแก้ไขการสบพันที่ผิดปกติในทางทันตกรรมจัดฟันโดยการเคลื่อนฟันไปในตำแหน่งที่ต้องการด้วยเครื่องมือจัดฟันชนิดติดแน่น (fixed orthodontic appliance) นั้นอาศัยการให้แรงผ่านลวดโค้ง (main archwire) ไปยังเครื่องมือจัดฟันที่ยึดติดกับฟันและถ่ายทอดแรงไปสู่ฟันการยึดติดเครื่องมือทางทันตกรรมจัดฟันชนิดติดแน่นกับผิวเคลือบฟันโดยตรง (direct bonding) ได้ถูกนำมาใช้ในทางทันตกรรมจัดฟันตั้งแต่ปี 1965 โดย Newman¹ อาศัยหลักการยึดติดทางกล (mechanical locking) ระหว่างสารยึดติดกับฟันผิวที่มีความไม่เรียบสม่ำเสมอ (irregularities) ของเคลือบฟันและฐานของเครื่องมือติดแน่น² โดยการยึดติดแบร์กเกตทางทันตกรรมจัดฟันจะต้องมีความแข็งแรงของพันธะที่มากเพียงพอในการใช้งานทางคลินิกในช่วง 6 ถึง 8 เมกะปاسคอล³ ซึ่งการยึดติดที่เพียงพอของเครื่องมือติดแน่นมีส่วนสำคัญอย่างมากต่อผลลัพธ์ของการรักษาทางทันตกรรมจัดฟัน

โดยทั่วไปขั้นตอนในการยึดติดแบร์กเกตเข้ากับผิวเคลือบฟันเริ่มจากการใช้กรดถูผิวเคลือบฟัน (enamel conditioning) เพื่อให้เกิดรูพรุน (porosity) และทำสารเรซิโนเหลว (liquid resin) จากนั้นทำการยึดติดแบร์กเกตกับผิวฟันด้วยสารยึดติด (adhesive)⁴ การยึดติดเชิงกล (mechanical retention) เกิดจากส่วนของแท่งเรซิน (resin tag) ที่ยื่นเข้าไปในผิวของเคลือบฟันที่ถูกกรุด^{5,6} ความสามารถในการแทรกซึมของวัสดุเรซินเข้มกับความหนืด (viscosity) ของวัสดุเรซิน วัสดุเรซินที่มีความหนืดต่ำจะมีความสามารถในการแทรกซึมลงไปในรูพรุนของผิวเคลือบฟันมากกว่าและช่วยเพิ่มการยึดของวัสดุ (retention)⁷

สารเรซิโนเหลว (liquid resin) หรือสารไฟรเมอร์ทางทันตกรรมจัดฟัน (orthodontic primer) เป็นสารที่ถูกทำที่เคลือบฟันหลังจากการถูกรุดกัดและเป้าแห้งสารนี้มีความแตกต่างจากเรซินคอมโพสิตตรงที่ไม่มีวัสดุอัดแทรก (unfilled resin) และมีการเพิ่มส่วนประกอบมอนอมอเมอร์ร่วม (comonomer) เช่น สารไดเอทธิลีน ไกลคอล ไดเมทาคริเลต (diethylene glycol dimethacrylate: DEGMA) และไตรเอลทิลีน ไกลคอล ไดเมทาคริเลต (triethylene glycol dimethacrylate: TEGDMA) เทียบกับมอนอมอเมอร์ (monomer) การมีส่วนของมอนอมอเมอร์ร่วมในอัตราส่วนที่สูงกว่าในส่วนของสารยึดติด เรซินทำให้มีความหนืดที่ต่ำลง (low viscosity)^{5,8} ส่วนประกอบของสารเรซิโนเหลวที่ใช้กัน

อยู่ทั่วไป ยกตัวอย่าง เช่น ส่วนประกอบของ Transbond XT™ Primer (3M Unitek, Monrovia, CA, USA) ได้แก่ Bis-GMA ร้อยละ 45-50, TEGDMA ร้อยละ 45-55, 4 dimethyl-amonobenzenethanol น้อยกว่าร้อยละ 0.5, DL-camphorquinone น้อยกว่าร้อยละ 0.3 และ hydroquinone น้อยกว่าร้อยละ 0.03 นอกจากนี้ยังมีสารเรซิโนเหลวชนิดอื่นๆ เช่น สารไฟรเมอร์ที่ทนน้ำ (moisture resistance primer) ที่ช่วยการยึดติดในบริเวณที่ยากต่อการควบคุมการปนเปื้อนจากความชื้นในช่องปาก เช่น การยึดติดในบริเวณฟันกรามซึ่งที่สอง พันที่ยังชื้นไม่เต็มที่ในช่องปาก และฟันที่เยื่อคุต เป็นต้น โดยไฟรเมอร์ชนิดนี้มีส่วนประกอบของสารมอนอมอเมอร์ที่ซับน้ำ (hydrophilic monomer) ที่สามารถเกิดปฏิกิริยาปั่นตัว (polymerization) ได้ในสภาพที่มีความชื้น⁴ สารไฟรเมอร์ชนิดเซลฟ์อีทช์ (self-etching primer; SEP) ที่รวมขั้นตอนการปรับผิวฟันด้วยกรดและการทาสารไฟรเมอร์ไว้ด้วยกัน ช่วยลดเวลาและเพิ่มประสิทธิภาพในการทำงาน นอกจากนี้ยังมีการพัฒนาผลิตสารไฟรเมอร์ให้มีคุณสมบัติที่ดีขึ้น เช่น มีการเติมวัสดุอัดแทรก (filler) และเติมสารฟลูโอิโอดีเพื่อป้องกันฟันผุ ได้แก่ Ortho Solo™ (Ormco, Glendora, CA, USA) ที่มีการเติมวัสดุอัดแทรก barium aluminoborosilicate glass, hydroxyethylmethacrylate (HEMA) ที่มีคุณสมบัติเป็นมอนอมอเมอร์ที่ซับน้ำ และสาร sodium hexafluorosilicate เพื่อป้องกันฟลูโอิโอดี เป็นต้น

การใช้สารเรซิโนเหลวทำให้ทั่วบริเวณผิวเคลือบฟันที่ผ่านการถูกด้วยกรดซ่วยทำให้เกิดการแทรกซึม (penetrate) ของวัสดุเรซินเข้าไปในรูพรุนของผิวเคลือบฟัน⁹ ทำให้เกิดความแข็งแรงในการยึดติด (bond strength) ของแบร์กเกตกับผิวเคลือบฟัน¹⁰⁻¹² นอกจากนี้ยังมีผู้อ้างถึงประโยชน์ของการทาสารเรซิโนเหลวด้านอื่นๆ เช่น คุณสมบัติการซ่วยป้องกันฟันผุรอบฐานแบร์กเกต^{13,14} และช่วยป้องกันผิวเคลือบฟันในขั้นตอนถอนแบร์กเกต (debond)¹⁵ แต่อย่างไรก็ตามประโยชน์ดังกล่าวยังเป็นที่ถกเถียงอยู่¹² เนื่องจากมีการศึกษาส่วนหนึ่งพบว่าการทำสารเรซิโนเหลวไม่มีผลต่อความแข็งแรงการยึดติดของสารยึดติดกับผิวเคลือบฟัน^{8,15-20} รวมทั้งไม่มีผลในการป้องกันฟันผุ²¹ และการปอกป้องผิวเคลือบฟันในขั้นตอนถอนแบร์กเกต¹³

ในการศึกษานี้ ผู้วิจัยสนใจผลของการทาสารเรซิโนเหลวที่มีต่อความแข็งแรงของพันธะในช่วงแรก (initial shear bond strength) ระหว่างแบร์กเกตและผิวเคลือบฟัน

เนื่องจากการใช้งานจริงทางคลินิกที่ทันตแพทย์จัดฟันจะต้องใส่ลวดโค้งทันทีหลังจากติดเครื่องมือเสร็จ ซึ่งการศึกษาส่วนใหญ่ที่มีอยู่เป็นการศึกษาค่าความแข็งแรงพันธะเฉือน 24 ชั่วโมงและยังไม่มีข้อมูลค่าความแข็งแรงพันธะเฉือนในช่วงแรกของการศึกษาในลักษณะเดียวกันนี้

วัสดุและวิธีการ

ในการศึกษาครั้งนี้ใช้พัฒนาระบบน้อยจำนวน 60 ชิ้น ที่ถูกถอนออกเพื่อการจัดฟัน และเลือกฟันที่มีสภาพผิวฟันที่สมบูรณ์ดูจากลักษณะฟันผิวที่เรียบ ไม่มีรอยร้าว สีของฟันมีลักษณะที่ปกติ โดยเก็บไว้ในสารละลายไทมอล (thymol solution) ความเข้มข้นร้อยละ 0.5 เตรียมฟันโดยตัดรากฟันออกด้วยเครื่องตัดฟันความเร็วต่ำ (low speed cutting machine) กำหนดให้ฟันที่ทำการตัดรากแล้วต้องมีความยาวของรากประมาณ 3 มิลลิเมตร โดยวัดจากรอยต่อระหว่างเคลือบฟันและเคลือบรากฟันจากนั้นเตรียมฟันเพื่อการทดลองโดยนำฟันตัวอย่างมาหุ้มด้านนอกแก้มด้วยแผ่นฟิล์มไสटิดแบร์กเกต (Mini-diamondTM, Standard Edgewise Bracket, Ormco, Orange, CA, USA) ขนาด 10.38 ตารางมิลลิเมตรด้วยสารยึดติดเรซินที่ปั่นด้วยแสง (ไม่มีขันตอนทางกรดกัดและการทาบอนด์ดิ้ง) ฉายแสงทิศทางด้านบนเดียวและใกล้เหงือกด้านละ 10 วินาที ทำการยึดซี่ฟันลงในท่อพลาสติกพีวีซีขนาดเส้นผ่านศูนย์กลาง 21 มิลลิเมตรความยาว 1 นิ้ว ด้วยอะคริลิกชนิดปั่นด้วยตัวเอง (self-cure acrylic) โดยใช้ลวดนำ (guide wire) เมื่อได้ชิ้นงานเพื่อการทดลองที่ยึดลงในท่อพลาสติกพีวีซี แล้วแกะเอาแผ่นฟิล์มไสและแบร์กเกตออกตามวิธีของ Padungvorasart และ Techalertpaisarn²² แบ่งพันที่ได้ออกเป็น 3 กลุ่ม กลุ่มละ 20 ชิ้น เตรียมผิวฟันเพื่อติดแบร์กเกตในทั้ง 3 กลุ่มดังนี้ ขัดด้วยผงพัมมิซ (pumice) ล้างออกด้วยน้ำสะอาดแล้วเป่าให้แห้งโดยใช้ทริปเปิลไซริงค์ (triple syringe) ทากรดฟอสฟอริกความเข้มข้นร้อยละ 37 ที่ผิวฟันเป็นเวลา 30 วินาที ล้างด้วยน้ำสะอาด 10 วินาที แล้วเป่าให้แห้งด้วยทริปเปิลไซริงค์จากนั้นทำการยึดติดแบร์กเกตโดยบีบสารยึดติดชนิดปั่นด้วยแสงลงบนฐานแบร์กเกตเกลี่ยให้มีความหนาสามม៉າเสมอ นำมากดลงบนตำแหน่งกึงกลางฟันที่เตรียมไว้โดยทำการข้อมัดโดยผู้ทดลองคนเดียวกันและกดแบร์กเกตให้แนบกับผิวฟันมากที่สุดแล้วเขี่ยสารยึดติดโดยรอบออกโดยไม่มีการขยับของแบร์กเกตภายใต้เงื่อนไข กลุ่ม 1 ทำการยึดติดแบร์กเกต

โดยใช้สารยึดติด Transbonds XTTM (3M Unitex, Monrovia, CA, USA) กลุ่ม 2 ทำการยึดติดแบร์กเกตโดยใช้สารยึดติด GrenglooTM (Ormco, Glendora, CA, USA) กลุ่ม 3 ทำการยึดติดแบร์กเกตโดยใช้สารยึดติด PadlockTM (Reliance Orthodontic Product, Inc., Itasca, IL, USA) โดยในแต่ละจะถูกแบ่งออกเป็น 2 กลุ่มย่อย คือกลุ่มทดลอง และกลุ่มควบคุม กลุ่มละ 10 ชิ้น โดยกลุ่มทดลองทำการยึดติดแบร์กเกตโดยไม่มีการทำชาสารเรซิโนเหลว ในขณะที่กลุ่มควบคุมทำการยึดติดแบร์กเกตโดยทำชาสารเรซิโนเหลวตามคำแนะนำของผู้ผลิต (เรซิโนเหลวที่ใช้กับสารยึดติดแต่ละชนิด ได้แก่ Transbond XTTM primer, Ortho SoloTM Bonding primer และ Light BondTM sealant ในกลุ่มควบคุม T2 G2 และ P2 ตามลำดับ) จากนั้นฉายแสงด้วยเครื่องฉายแสงที่มีแหล่งกำเนิดแสงชนิดแสงยาโลจেน (EliparTM 2500, 3M ESPE, St. Paul, MN, USA) ความเข้มแสง 450 มิลลิวัตต์ต่อตารางเซนติเมตร ฉายแสงด้านบนเดียวและใกล้เหงือกเป็นเวลาด้านละ 10 วินาที โดยฉายแสงห่างจากแบร์กเกต 1 มิลลิเมตร ในทุกกลุ่ม จากนั้นทำการทดสอบความแข็งแรงของพันธะเฉือนของตัวอย่าง 9 ชิ้นจากทุกกลุ่มตัวอย่างภายหลังการฉายแสง 5 นาทีโดยเครื่องทดสอบสากล (Universal Testing Machine, EZTest EZ L/EZ-s Series, Shimadzu Corp., Japan) โหลดเซลล์ (load cell) 500 นิวตัน ความเร็วในการเคลื่อนที่ของโหลดเซลล์ 1 มิลลิเมตรต่อนาที บันทึกค่าความแข็งแรงของพันธะเฉือนที่ทำให้แบร์กเกตหลุดออกจากผิวฟัน นำมาคำนวณหาค่าเฉลี่ยและส่วนเบี่ยงเบนมาตรฐาน ความแข็งแรงของพันธะเฉือนแล้วทำการเปรียบเทียบภายในกลุ่มด้วยการใช้ค่าสถิติที่ (unpaired t-test) และเปรียบเทียบระหว่างกลุ่มด้วยการใช้ค่าสถิติการวิเคราะห์ความแปรปรวนแบบทางเดียว (ANOVA) ที่ระดับความเชื่อมั่นร้อยละ 95 ตรวจสอบบริเวณที่เกิดความล้มเหลวในการยึดติดของแบร์กเกตในแต่ละชิ้นงานทำโดยการดูภาพถ่ายสารยึดติดที่เหลืออยู่บนเคลือบฟันซึ่งถ่ายด้วยกล้องจุลทรรศน์แบบสเตอโรไอดโดยผู้ทดลองคนเดียวกันในทุกชิ้นงานแล้ววัดค่าดัชนีการเหลืออยู่ของสารยึดติด (adhesive remnant index; ARI) ตามเกณฑ์การให้คะแนนของ Olsen และคณะ²³

1 หมายถึง สารยึดติด และรอยฐานของแบร์กเกตติดอยู่บนเคลือบฟันทั้งหมด

2 หมายถึง สารยึดติดติดอยู่บนเคลือบฟันมากกว่าร้อยละ 90

3 หมายถึง สารยึดติดอยู่บนเคลือบฟันร้อยละ 10-90

4 หมายถึง สารยึดติดติดอยู่บนเคลือบฟันน้อยกว่าร้อยละ 10

5 หมายถึง ไม่มีสารยึดติดติดอยู่บนเคลือบฟันเลย

เปรียบเทียบความแตกต่างโดยค่าสถิติโคสแควร์ (Chi square) ที่ระดับความเชื่อมั่นร้อยละ 95 โดยโปรแกรมสถิติเอกซ์เพรสโซส (SPSS software, version 17)

นำตัวอย่างจากแต่ละกลุ่มจำนวน 1 ตัวอย่าง เพื่อทำการศึกษาลักษณะขั้นเคลือบฟันที่ยึดกับสารยึดติดศึกษาด้วยกล้องจุลทรรศน์อิเล็กtronแบบส่องกราด (scanning electron microscope: JSM-5410LV) โดยการนำตัวอย่างที่มีการยึดกับแบร์กเกตแล็มตัดในแนวขวาง (cross section) แล้วนำไปปะเข้าในกรดไฮドโรคโลริกความเข้มข้น 2 โมล/ลิตร เป็นเวลา 20 วินาที ตามวิธีของ Shinchi และคณะ²⁴ จากนั้นนำไปศึกษาด้วยกล้องจุลทรรศน์อิเล็กtronแบบส่องกราด

ตารางที่ 1 ค่าเฉลี่ยและค่าเบี่ยงเบนมาตรฐานของความแข็งแรงพันธะเดือนในทั้ง 6 กลุ่ม แสดงในตารางที่ 1 พบว่า ไม่มีความแตกต่างกันอย่างมีนัยสำคัญของกลุ่มทดลองและกลุ่มควบคุมในสารยึดติดทั้ง 3 ชนิดและไม่มีความแตกต่างของค่าความแข็งแรงพันธะเดือนระหว่างสารยึดติดของทั้ง 6 กลุ่ม แสดงดังตารางที่ 2 จากสถิติการวิเคราะห์โคสแควร์ (Chi-square test) พบว่าแต่ละกลุ่มมีการกระจายตัวของค่าเอกสาร์โอลีฟ์เมไดตกต่างกันอย่างมีนัยสำคัญทางสถิติที่ระดับความเชื่อมั่นร้อยละ 95

ผลการศึกษา

ค่าเฉลี่ยและค่าเบี่ยงเบนมาตรฐานของความแข็งแรงพันธะเดือนในทั้ง 6 กลุ่ม แสดงในตารางที่ 1 พบว่า ไม่มีความแตกต่างกันอย่างมีนัยสำคัญของกลุ่มทดลองและกลุ่มควบคุมในสารยึดติดทั้ง 3 ชนิดและไม่มีความแตกต่างของค่าความแข็งแรงพันธะเดือนระหว่างสารยึดติดของทั้ง 6 กลุ่ม แสดงดังตารางที่ 2 จากสถิติการวิเคราะห์โคสแควร์ (Chi-square test) พบว่าแต่ละกลุ่มมีการกระจายตัวของค่าเอกสาร์โอลีฟ์เมไดตกต่างกันอย่างมีนัยสำคัญทางสถิติที่ระดับความเชื่อมั่นร้อยละ 95

ลักษณะสารยึดติดที่ยึดกับชั้นเคลือบฟัน ศึกษาด้วยกล้องจุลทรรศน์อิเล็กtronแบบส่องกราด (scanning electron microscope: JSM-5410LV) พบว่าในกลุ่มควบคุมของสารยึดติดทั้ง 3 ชนิด แสดงลักษณะของแท่งเรซิโน่ที่มีรูปร่างชัดเจน และมีปริมาณการแทรกซึ้งของเรซินเข้าไป

ตารางที่ 1 ค่าเฉลี่ยและค่าเบี่ยงเบนมาตรฐานของความแข็งแรงพันธะเดือนในทั้ง 6 กลุ่ม

Table 1 Mean and standard deviation of shear bond strength in MegaPascal (MPa) in 6 groups

Group	Mean±SD (MPa)
T1 (n=9)	10.18±2.33
T2 (n=9)	12.12±3.29
G1 (n=9)	10.72±3.21
G2 (n=9)	11.94±3.20
P1 (n=9)	11.61±3.67
P2 (n=9)	10.44±3.47

T₁ = Transbond XTTM without primer, T₂ = Transbond XTTM + Transbond XTTM primer

G₁ = GrenglooTM without primer, G₂ = GrenglooTM + Ortho SoloTM Bonding primer

P₁ = PadlockTM without primer, P₂ = PadlockTM + Light BondTM sealant

ตารางที่ 2 ค่าดัชนีการเหลืออยู่ของสารยึดติดภายหลังการหลุดของแบร์กเกต

Table 2 Adhesive remnant index after debonding

Adhesive	Group						
	Remnant Index scores	T1 (n=9)	T2 (n=9)	G1 (n=9)	G2 (n=9)	P1 (n=9)	P2 (n=9)
1	—	—	3	—	1	—	2
2	1	1	1	—	—	—	—
3	—	—	2	—	3	—	3
4	4	3	5	5	8	4	—
5	4	—	4	—	1	—	—
	9	9	9	9	9	9	

T₁ = Transbond XTTM without primer, T₂ = Transbond XTTM + Transbond XTTM primer

G₁ = GrenglooTM without primer, G₂ = GrenglooTM + Ortho SoloTM Bonding primer

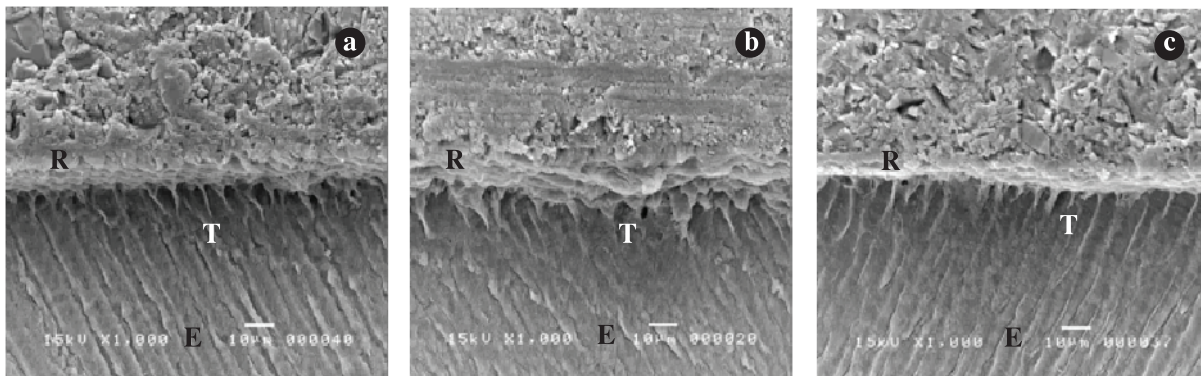
P₁ = PadlockTM without primer, P₂ = PadlockTM + Light BondTM sealant

ในขั้นเคลือบพันที่ลึกกว่ากลุ่มทดลอง โดยในกลุ่มทดลองพบลักษณะของแท่งเรซินที่ไม่แน่นอน และมีปริมาณการแทรกซึมของเรซินที่น้อยและตื้นกว่ากลุ่มควบคุม

และคณะ¹⁹ ที่ศึกษาความแข็งแรงพันธะเฉือนในช่วง 24 ชั่วโมงแรก (early shear bond strength) ระหว่างผิวเคลือบพันคอกมโพลิสต์ และแบร์กเกตโดยเบรียบเทียบระหว่างกลุ่มทดลองที่ไม่มีการทาสารเรซินเหลวและกลุ่มควบคุมที่ทาสารเรซินเหลวใช้สารยึดติด Transbond XTTM (3M Unitek, CA, USA) และ Phase IITM (Reliance, IL, USA) พบว่าไม่มีความแตกต่างอย่างมีนัยสำคัญของค่าความแข็งแรงพันธะเฉือนระหว่างกลุ่มทดลองและกลุ่มควบคุม และไม่พบความแตกต่างของค่าความแข็งแรงพันธะเฉือนระหว่างสารยึดติดทั้งสองชนิด นอกจากนี้ Tang และคณะ²⁰ ยังได้ทำการศึกษาย้อนหลัง (retrospective) ถึงผลการยึดติดของสารยึดติดโดยไม่มีการทาสารเรซินเหลวในผู้ป่วยจริงจำนวน 37 คน เทียบกับกลุ่มควบคุมที่มีการทาสารเรซินเหลวจำนวน 37 คนเท่ากัน โดยมีการควบคุมปัจจัยต่างๆ อย่างเข้มงวดพบว่ารอยละการเกิดความล้มเหลว (bond failure) ในการยึดติดแบร์กเกตในทั้งสองกลุ่มไม่มีความแตกต่างกัน คือมีค่าประมาณร้อยละ 6 เช่นเดียวกับการศึกษาของ Shahabi

วิจารณ์

การศึกษาในครั้งนี้มีวัตถุประสงค์เพื่อประเมินผลของการทาสารเรซินเหลวที่มีต่อความแข็งแรงพันธะเฉือนในช่วงแรกระหว่างแบร์กเกตและผิวพัน จากการศึกษาพบว่าไม่มีความแตกต่างอย่างมีนัยสำคัญของค่าความแข็งแรงพันธะเฉือนในช่วงแรกระหว่างกลุ่มทดลอง (ไม่มีการทาสารเรซินเหลว) และกลุ่มควบคุม (ทาสารเรซินเหลวตามคำแนะนำของผู้ผลิต) ในสารยึดติดทั้งสามชนิดที่ใช้ในการทดลองครั้งนี้โดยค่าเฉลี่ยของค่าความแข็งแรงพันธะเฉือนในทุกกลุ่มมีค่าสูงกว่าความแข็งแรงของการยึดติดที่เพียงพอในการใช้งานทางคลินิกในช่วง 6 ถึง 8 เมกะปาสกาล³ ซึ่งผลที่ได้จากการทดลองครั้งนี้สอดคล้องกับการศึกษา ก่อนหน้าของ Tang



รูปที่ 1 ภาพถ่ายจากกล้องจุลทรรศน์อิเล็กตรอนแบบส่องกราดในกลุ่มควบคุม (a) Transbond XTTM (T2) (b) GrenglooTM (G2) และ (c) PadlockTM (P2) แสดงลักษณะของแท่งเรซินที่มีรูปร่างชัดเจน และมีการแทรกซึมของเรซินที่มากและลึกกว่ากลุ่มทดลอง

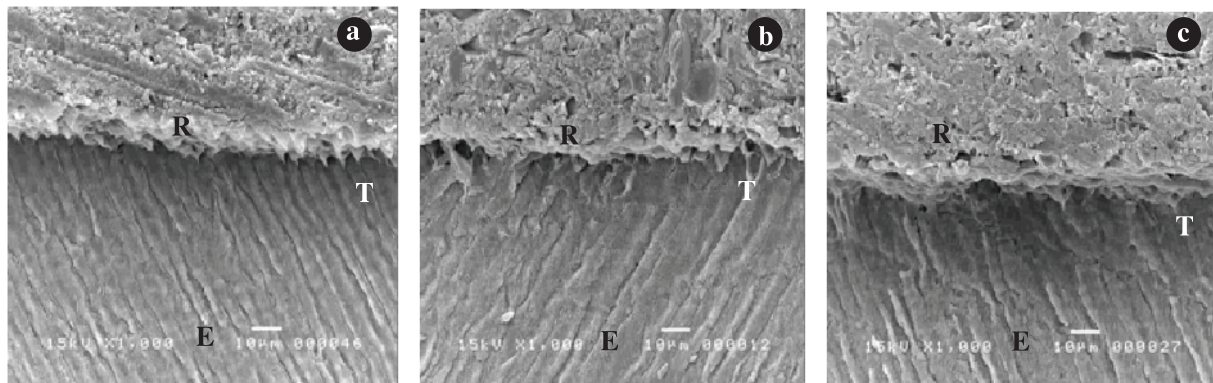
Fig. 1 Scanning electron micrograph of the specimen of control group (a) Transbond XTTM (T2), (b) GrenglooTM (G2) and (c) PadlockTM (P2) displayed well-defined resin tag, more and deeper penetration of the resin than test group.

*** R; Cured resin, T; resin tag and E; Enamel

และคณะ¹⁷ ที่พบว่าการทำสารเรซินเหลวไม่มีผลเพิ่มความแข็งแรงพันธะเฉือนและการป้องกันผิวเคลือบฟันในระหว่างการทดสอบเบร็กเกตการศึกษาของ O'Brien และคณะ¹⁸ พบร่วมกับความแข็งแรงพันธะเฉือนระหว่างเบร็กเกต สารยึดติดไอบริดคอมโพสิตที่บ่มตัวด้วยแสง (Opalux, I.C.I Dental, UK) และผิวเคลือบฟันไม่มีความแตกต่างอย่างมีนัยสำคัญในกลุ่มควบคุมที่ทำสารเรซินเหลวที่ผิวเคลือบฟันและฐานของเบร็กเกตก่อนยึดด้วยสารยึดติดเทียบกับกลุ่มทดลองที่ไม่มีการทำสารเรซินเหลวจากงานการศึกษาของ Wang และ Tarny¹⁵ พบร่วมกับการใช้สารเรซินเหลวหาก่อนการยึดติดเบร็กเกตกับผิวฟันด้วยวัสดุเรซินชนิดผสม Concise two-phase bonding system (3M Unitek, CA, USA) เพื่อเพิ่มความแข็งแรงการยึดติดเป็นสิ่งที่ไม่จำเป็นเนื่องจากค่าความแข็งแรงแรงยึดดึง (tensile strength) ไม่มีความต่างกันอย่างมีนัยสำคัญระหว่างกลุ่มทดลองที่ไม่มีการทำสารเรซินเหลว กับกลุ่มควบคุม แต่พบว่าการทำสารเรซินเหลวอาจช่วยปักปูผิวเคลือบฟันในขั้นตอนทดสอบเบร็กเกต

การศึกษาลักษณะของเรซินที่แทรกซึมเข้าไปในชั้นเคลือบฟันผ่านกล้องจุลทรรศน์แบบส่องกราด ในการทดลองครั้งนี้ พบร่วมกับกลุ่มควบคุมของสารยึดติดทั้ง 3 ชนิด แสดงลักษณะของแท่งเรซินที่มีรูปร่างชัดเจน (well-defined) และมีปริมาณการแทรกซึมของเรซินเข้าไปในชั้นเคลือบฟันที่ลึกกว่ากลุ่มทดลอง โดยในกลุ่มทดลองพบร่วมลักษณะของแท่งเรซินที่

ไม่แน่นอน (unclear) และมีปริมาณการแทรกซึมของเรซินที่น้อยและตื้นกว่ากลุ่มควบคุม สอดคล้องกับการศึกษาของ Tang และคณะ¹⁹ ที่ศึกษาลักษณะของเรซินในผิวเคลือบฟันจากกล้องจุลทรรศน์อิเล็กตรอนแบบส่องกราด พบร่วมกับกลุ่มที่ทำสารเรซินเหลวจะพบร่วมลักษณะของแท่งเรซินที่มีรูปร่างชัดเจนแทรกซึมเข้าไปในผิวเคลือบฟันต่างจากกลุ่มทดลองที่ไม่ทำสารเรซินเหลวพบร่วมลักษณะของวัสดุเรซินที่มีรูปร่างไม่แน่นอน (amorphous) และการศึกษาของ de Menezes และ Chevitarese²⁵ ที่ศึกษาผลของการหินดูของเรซินและการทำสารเรซินเหลวต่อลักษณะของการแทรกซึมของเรซิน ด้วยกล้องจุลทรรศน์อิเล็กตรอนแบบส่องกราด โดยใช้เรซินที่มีความหนืดแตกต่างกัน พบร่วมกับการทำสารเรซินเหลวมีผลเพิ่มความยาวของแท่งเรซินในทุกกลุ่มส่วนในกลุ่มที่ไม่มีการทำสารเรซินเหลวเรซินที่ใช้ทางทันตกรรมจัดฟัน (orthodontic ConciseTM) มีการแทรกซึมของแท่งเรซินที่มากกว่าเรซินชนิดที่ใช้ทางทันตกรรมบูรณะ (restorative ConciseTM) ซึ่งมีความหนืดมากกว่าเมื่อพิจารณาค่าความแข็งแรงพันธะเฉือนในการศึกษาครั้งนี้ พบร่วมไม่มีความแตกต่างกันอย่างมีนัยสำคัญระหว่างกลุ่มควบคุมและกลุ่มทดลองที่มีลักษณะการแทรกซึมของเรซินในเคลือบฟันที่แตกต่างกัน เช่นเดียวกับการศึกษาของ Tang และคณะ¹⁹ ซึ่งอาจสรุปได้ว่าค่าความแข็งแรงการยึดติดระหว่างเรซินและผิวเคลือบฟันไม่ได้ขึ้นกับลักษณะและความยาวของแท่งเรซินเพียงอย่างเดียว



รูปที่ 2 ภาพถ่ายจากกล้องจุลทรรศน์อิเล็กตรอนแบบส่องการดูในกลุ่มทดลอง (a) Transbond XTTM (T1) (b) GrenglooTM (G1) และ (c) PadlockTM (P1) แสดงลักษณะของแท่งเรซินที่มีรูปร่างไม่แน่นอน และมีการแทรกซึมของเรซินที่น้อย และตื้นกว่ากลุ่มควบคุม

Fig. 2 Scanning electron micrograph of the specimen of test groups (a) Transbond XTTM (T1), (b) GrenglooTM (G1) and (c) PadlockTM (P1) displayed unclear resin tag, less penetration of the resinthan control group

***R; Cured resin, T; resin tag and E; Enamel

ความแข็งแรงในการยึดติดเป็นผลร่วมกันของแท่งเรซินและส่วนของวัสดุเรซินที่แพร่อยู่ทั่วไประหว่างชั้นเคลือบฟัน (resin-enamel interdiffusion zone)⁵ หรือส่วนของเรซินที่แทรกซึมในเคลือบฟันที่บริเวณผิวชั้นบน อาจมีบทบาทสำคัญต่อความแข็งแรงในการยึดติดระหว่างเรซินและเคลือบฟันมากกว่าความยาวของแท่งเรซิน สอดคล้องกับการศึกษาของ Shinchi และคณะ²⁴ ที่พบว่าไม่มีความสัมพันธ์ระหว่างความยาวของเรซินกับค่าความแข็งแรงพันธะยึดดึง (tensile bond strength) ระหว่างเรซินกับผิวเคลือบฟัน โดยทั่วไปแล้วความหนืดของสารยึดติดที่ใช้ในทางทันตกรรมจัดฟันนั้นค่อนข้างต่ำเมื่อเทียบกับวัสดุในกลุ่มที่ใช้ในงานบูรณะจากผลกระทบของคริวингที่พบว่าไม่มีความแตกต่างของความแข็งแรงพันธะเชื่อมในช่วงแรกระหว่างกลุ่มควบคุมและกลุ่มทดลอง อาจทำให้สามารถพิจารณาได้ว่าสารยึดติดทางทันตกรรมจัดฟันที่นำมาทดสอบมีความหนืดที่ค่อนข้างต่ำอยู่แล้ว นั้นสามารถทำให้เกิดการแทรกซึมของเรซินที่เพียงพอในระดับที่ทำให้เกิดการยึดติดที่เหมาะสมกับผิวฟันได้และลักษณะและความยาวของแท่งเรซินไม่ใช่ปัจจัยเดียวที่มีผลต่อความแข็งแรงการยึดติดของวัสดุเรซินกับผิวเคลือบฟัน

ความล้มเหลวในการยึดติดแบร์กเกต (bond failure) สามารถเกิดขึ้นที่บริเวณระหว่างสารสองชนิดที่แตกต่างกัน (adhesive failure) หรือในภายในสารนั้น ๆ (cohesive failure) ส่วนใหญ่แล้วการเกิดความล้มเหลวในการยึดติดมักเกิดร่วม

กันทั้งสองแบบ การประเมินอัตราส่วนของลักษณะความล้มเหลวในการยึดติดของวัสดุสามารถหาได้จากการค่าดัชนีการเหลืออยู่ของสารยึดติด^{5,26} ในทางทันตกรรมจัดฟันคุณสมบัติของสารยึดติดที่พึงประสงค์ คือ มีความแข็งแรงการยึดติดที่เพียงพอ ในขณะที่เมื่อถอดเครื่องมือมีสารยึดติดเหลือบนผิวฟันน้อยที่สุด เพื่อให้สามารถกำจัดสารยึดติดออกจากผิวฟันได้ง่าย⁵ O'Brien และคณะ¹⁸ กล่าวว่า มีปัจจัยต่าง ๆ ที่มีผลต่อค่าดัชนีการเหลืออยู่ของสารยึดติดได้แก่ วิธีการถอดแบร์กเกต ลักษณะฐานของแบร์กเกต และชนิดของสารยึดติด เป็นต้น ในทางทดลองครั้งนี้ เมื่อแบร์กเกตหลุดพบร้าค่าดัชนีการเหลืออยู่ของสารยึดติดเท่ากับ 4 เป็นส่วนใหญ่ (สารยึดติดติดอยู่บนเคลือบฟันน้อยกว่าร้อยละ 10) การที่สารยึดติดส่วนใหญ่ติดอยู่บนฐานแบร์กเกต แสดงถึงพันธะยึดติดระหว่างผิวเคลือบฟันและวัสดุเรซินคอมโพสิต (enamel/adhesive interface) ที่แข็งแรงน้อยกว่าพันธะยึดติดระหว่างฐานแบร์กเกตและวัสดุเรซินคอมโพสิต (bracket/adhesive interface) ของวัสดุเรซินคอมโพสิต ภายหลังจากการบ่มด้วยแสงในช่วงแรกที่ยังมีปฏิกิริยาการบ่มที่ไม่สมบูรณ์ และพบว่ารูปแบบความล้มเหลวในการยึดติดของทุกกลุ่มไม่มีความแตกต่างอย่างมีนัยสำคัญ สอดคล้องกับการศึกษาของหนานนี^{17,19} แต่แตกต่างจากผลการศึกษาของ Wang และ Tarn¹⁵ ที่พบว่าบริเวณที่เกิดความล้มเหลวในการยึดติดส่วนใหญ่เกิดขึ้นระหว่างแบร์กเกตและสารยึดติด

ทั้งในกลุ่มที่มีการใช้สารเรซินเหลวและกลุ่มที่ไม่ใช้เรซินเหลว อาจเพราะเป็นการทดสอบความแข็งแรงของพันธะเฉือนที่ 24 ชั่วโมง ภายหลังการบ่มด้วยแสง ใช้แบร์กเกตและวัสดุยึดติดคงทนนิດ ผลที่ได้จากการทดลองครั้งนี้จึงอาจสรุปได้ว่า การทาหรือไม่ทาสารเรซินเหลวในขั้นตอนการยึดติดแบร์กเกต และชนิดของสารยึดติดไม่มีผลต่อปริมาณที่เกิดการยึดติดล้มเหลว ความล้มเหลวของการยึดติดในช่วงแรกจะเกิดขึ้นที่บริเวณระหว่างผิวเคลือบพันและวัสดุเรซินคอมโพสิต

การทดสอบด้วยความแข็งแรงของพันธะเฉือนในช่วงแรก เพื่อให้ใกล้เคียงการทำงานจริงในคลินิกที่ทันตแพทย์จัดพัน จะสืบต่อได้หลังจากติดแบร์กเกตเสร็จแล้วโดยมีข้อเสนอแนะว่าควรทำการใส่ลวดภายหลังการฉายแสงบ่มเป็นระยะเวลา 2-5 นาที^{27,28} ในกรณีศึกษาครั้งนี้ที่ใช้เวลาทดสอบ 5 นาที ภายหลังการฉายแสง พบว่าค่าความแข็งแรงของพันธะเฉือนในทุกกลุ่มการทดลองมีค่าสูงกว่าค่าความแข็งแรงการยึดติดที่เพียงพอต่อการใช้งานในคลินิก คือ ในช่วง 6 ถึง 8 เมกะปาสคาล³ โดยกลุ่มที่มีค่าความแข็งแรงพันธะเฉือนสูงสุด ได้แก่ กลุ่ม Transbond XT ที่มีการทาสารเรซินเหลวเท่ากับ 12.12 ± 3.29 เมกะปาสคาล และกลุ่มที่มีค่าความแข็งแรงพันธะเฉือนน้อยที่สุด ได้แก่ กลุ่ม Transbond XT ที่ไม่มีการทาสารเรซินเหลว เท่ากับ 10.18 ± 2.33 เมกะปาสคาล ไม่มีความแตกต่างอย่างมีนัยสำคัญระหว่างกลุ่มที่มีการทาสารเรซินเหลวและไม่ทาสารเรซินเหลวในการยึดติดแบร์กเกต ซึ่งสอดคล้องกับผลการศึกษาก่อนหน้าที่ทำการทดสอบความแข็งแรงของพันธะเฉือนเบรียบเทียบระหว่างกลุ่มที่ทาและไม่ทาเรซินเหลวหลังติดแบร์กเกตที่ระยะเวลาแตกต่างออกไป^{15,17,19}

แต่อย่างไรก็ตาม งานศึกษาครั้งนี้ได้ทดสอบสารยึดติดทางทันตกรรมจัดฟันเพียง 3 ชนิด และยังมีข้อจำกัดในด้านต่างๆ ได้แก่ ลักษณะของพันธะนิดของแบร์กเกต และสภาพการทดลองที่เป็นเพียงการทดลองในห้องปฏิบัติการ เป็นต้น ดังนั้น ผลที่ได้จากการวิจัยในครั้งนี้อาจไม่สามารถนำไปใช้ได้จริงในทุกๆ กรณี แต่ก็ยังคงเป็นข้อมูลที่มีประโยชน์ในการตัดสินใจในการติดตั้งแบร์กเกตและวัสดุเรซินในอนาคต

สรุป

- การทาสารเรซินเหลวไม่มีผลเพิ่มความแข็งแรงของพันธะเฉือนในช่วงแรกของแบร์กเกตและผิวเคลือบพันในสารยึดติดทั้ง 3 ชนิด

- การทาสารเรซินเหลว รวมทั้งชนิดของสารยึดติดไม่มีความสัมพันธ์กับตำแหน่งที่เกิดความล้มเหลวของการยึดติดหรือค่าตัวซึ่นนิการเหลืออยู่ของสารยึดติดอย่างมีนัยสำคัญทางสถิติ

กิตติกรรมประกาศ

ผู้จัดขอขอบคุณ ส่วนงานบริการวิจัยและพัฒนา คณะทันตแพทยศาสตร์ จุฬาลงกรณ์มหาวิทยาลัย ที่สนับสนุนทุนส่งเสริมการวิจัยของคณาจารย์ปีงบประมาณ 2556 รหัสโครงการ DRF 56003 ในการดำเนินงานศึกษาครั้งนี้

เอกสารอ้างอิง

- Newman GV. Epoxy adhesives for orthodontic attachments: progress report. Am J Orthod. 1965; 51:901-12.
- Proffit WR, Fields HW, Sarver DM. Contemporary orthodontic appliance. In: Proffit WR, Fields HW, Sarver DM, editors. Contemporary orthodontics. 4 ed. St. Louis: Mosby;2000. p.395-430.
- Renolds IR. A review of direct orthodontic bonding. Br J Orthod. 1975;2:171-8.
- Zachrisson BU. Bonding in orthodontics. In: Graber TM, Vanarsdall RL, editors. Orthodontics Current Principles and Techniques 4 ed. St. Louis: Elsevier Mosby;2005. p.579-93.
- Eliades T, Eliades G. Orthodontic adhesive resins. In: Brantley WA, Eliades T, editors. Orthodontic materials : Scientific and Clinical Aspects. Stuttgart, New York: Thieme;2001. p.201-19.
- Ireland AJ, Sherriff M. Use of an adhesive resin for bonding orthodontic brackets. Eur J Orthod. 1994;16:27-34.
- Baharav H, Cardash HS, Helft M, Langsam J. Penetration of etched enamel by bonding agents. J Prosthet Dent. 1988;59:33-6.
- Prevost AP, Fuller JL, Peterson LC. The use of an intermediate resin in the acid-etch procedure: retentive strength, microleakage, and failure mode analysis. J Dent Res. 1982;61:412-8.

9. Matasa CG. Adhesion and its ten commandments. *Am J Orthod Dentofacial Orthop.* 1989;95:355-6.
10. Ortiz RF, Phillips RW, Swartz ML, Osborne JW. Effect of composite resin bond agent on microleakage and bond strength. *J Prosthet Dent.* 1979;41:51-7.
11. Rider M, Kenny B, Tanner AN. The effect of enamel bonding agents on in vitro composite bond strengths. *J Dent.* 1977;5:295-302.
12. Gwinnett AJ. State of the art and science of bonding in orthodontic treatment. Council on Dental Materials, Instruments and Equipment. *J Am Dent Assoc.* 1982;105:844-50.
13. Bishara SE, Oonsombat C, Soliman MM, Warren J. Effects of using a new protective sealant on the bond strength of orthodontic brackets. *Angle Orthod.* 2005;75:243-6.
14. Zachrisson BU. JCO/interviews Dr. Bjorn U. Zachrisson on iatrogenic damage in orthodontic treatment (part 2). Interview by Sidney Brandt. *J Clin Orthod.* 1978;12:208-20.
15. Wang WN, Tarny TH. Evaluation of the sealant in orthodontic bonding. *Am J Orthod Dentofacial Orthop.* 1991;100:209-11.
16. Retief DH, Woods E. Is a low viscosity bonding resin necessary? *J Oral Rehabil.* 1981;8:255-66.
17. Shahabi M, Heravi F, Mokhber N, Karamad R, Bishara SE. Effects on shear bond strength and the enamel surface with an enamel bonding agent. *Am J Orthod Dentofacial Orthop.* 2010;137:375-8.
18. O'Brien KD, Watts DC, Read MJ. Light cured direct bonding--is it necessary to use a primer? *Eur J Orthod.* 1991;13:22-6.
19. Tang AT, Bjorkman L, Adamczak E, Andlin-Sobocki A, Ekstrand J. In vitro shear bond strength of orthodontic bondings without liquid resin. *Acta Odontol Scand.* 2000;58:44-8.
20. Tang AT, Bjorkman L, Lindbeck KF, Andlin-Sobocki A, Ekstrand J. Retrospective study of orthodontic bonding without liquid resin. *Am J Orthod Dentofacial Orthop.* 2000;118:300-6.
21. Ceen RF, Gwinnett AJ. Microscopic evaluation of the thickness of sealants used in orthodontic bonding. *Am J Orthod.* 1980;78:623-9.
22. Padungvorasart S, Techalertpaisarn P. The effect of light curing direction on the shear bond strength and the bond failure site of orthodontic metal brackets. *J Dent Assoc Thai.* 2012;62:126-34.
23. Olsen ME, Bishara SE, Damon P, Jakobsen JR. Evaluation of Scotchbond Multipurpose and maleic acid as alternative methods of bonding orthodontic brackets. *Am J Orthod Dentofacial Orthop.* 1997;111:498-501.
24. Shinchi MJ, Soma K, Nakabayashi N. The effect of phosphoric acid concentration on resin tag length and bond strength of a photo-cured resin to acid-etched enamel. *Dent Mater.* 2000;16:324-9.
25. de Menezes LF, Chevitarese O. Sealant and resin viscosity and their influence on the formation of resin tags. *Angle Orthod.* 1994;64:383-8.
26. Artun J, Bergland S. Clinical trials with crystal growth conditioning as an alternative to acid-etch enamel pretreatment. *Am J Orthod.* 1984;85:333-40.
27. Nisalak P, Jaochakarasiri P, Verayangkura P, Phunyanant R. Initial tensile bond strength among various types of orthodontic adhesives. *J Dent Assoc Thai.* 2006;56:301-9.
28. Oesterle LJ, Messersmith ML, Devine SM, Ness CF. Light and setting times of visible-light-cured orthodontic adhesives. *J Clin Orthod.* 1995;29:31-6.

The effect of liquid resin on initial shear bond strength of orthodontic adhesives

Puntip Dongpaiboon D.D.S.¹

Paiboon Techalertpaisarn D.D.S., Ph.D., Diplomate, Thai Board of Orthodontics²

¹Graduate student, Department of Orthodontics, Faculty of Dentistry, Chulalongkorn University

²Department of Orthodontics, Faculty of Dentistry, Chulalongkorn University

Abstract

Objective To study the effect of liquid resin on initial shear bond strength between bracket and enamel in 3 groups using different adhesives

Materials and methods Sixty human premolars were divided into 3 groups of 20 each. Tooth surface was treated with phosphoric acid, then rinsed and blown to dry. Brackets were bonded to tooth surface with light cured adhesives as following: group 1 Transbond XTTM (3M Unitek, CA, USA), group 2 (G) GrenglooTM (Ormco, Glendora, CA, USA), and group 3 (P) PadlockTM (Reliance Orthodontic Product, Inc., Itasca, IL, USA). Each group was divided into 2 subgroups of control and test. In test subgroups (T1, G1, P1), brackets were bonded to tooth surface without the use of liquid resin, whereas those in the control subgroups (T2, G2, P2) were bonded with the use of liquid resin in accordance with manufacturer's instruction. Shear bond strengths of 9 specimens from each subgroup were tested after light activation for 5 minutes by universal testing machine. One remaining specimen from each subgroup was used for investigation of resin penetration pattern into enamel under scanning electron microscope. The means of bond strength between test and control subgroups were compared using unpaired t-test, while the means of bond strength among subgroup were compared by one-way ANOVA. The adhesive remnant indices in each subgroup were measured and tested by the Chi-square at 95% confidence interval.

Results Mean shear bond strengths and standard deviations of test subgroups T1, G1, and P1 were 10.18 ± 2.33 , 10.72 ± 3.21 and 11.61 ± 3.67 MPa, respectively. Those of control subgroups were 12.12 ± 3.29 , 11.94 ± 3.20 and 10.44 ± 3.47 MPa, respectively. There is no significant difference between test and control subgroups of each adhesive. There is no significant difference among all subgroups in test and control groups. Also, no significant difference between ARI scores among subgroups is noted. For the pattern of resin penetration into enamel during bracket bonding procedure, it was found that subgroups without liquid resin represented less penetration of resin than those with liquid resin.

Conclusion The use of liquid resin in bracket bonding procedure does not affect initial shear bond strength of all adhesives tested in this study.

(CU Dent J. 2015;38:11–20)

Key words: *initial bond strength; liquid resin; orthodontic adhesive*

Correspondence to Paiboon Techalertpaisarn, paiboon.t@chula.ac.th